



Université Claude Bernard



Lyon 1



MODÉLISATION MATHÉMATIQUE DES SYSTÈMES MULTIPHYSIQUES

Intégration géométrique de systèmes hamiltoniens d'ordre 4 et
extension à un système irréversible

Hédi LEHLALI

MAM 3A

Polytech Lyon
Université Claude Bernard - Lyon 1

Table des matières

| | | |
|----------|---|-----------|
| 1 | Systèmes Hamiltoniens et calculs | 3 |
| 1.1 | Calculs préliminaires | 3 |
| 2 | Méthode d'Euler Explicite | 4 |
| 2.1 | Méthode Euler Explicite (Matlab) | 4 |
| 2.2 | Les invariants dynamiques | 5 |
| 2.3 | Diagramme de phase | 6 |
| 3 | Méthode des flots intégrables | 6 |
| 3.1 | Méthode flots intégrables (Matlab) | 6 |
| 3.2 | Les invariants dynamiques | 10 |
| 3.3 | Diagramme de phase | 10 |
| 4 | Comparaison des méthodes | 11 |
| 4.1 | Comparaison des invariants de Casimir | 11 |
| 4.2 | Comparaison diagramme de phase | 11 |
| 4.3 | Comparaison invariant H_0 | 11 |
| 5 | Annexe (Code Matlab) | 11 |
| 5.1 | Script Matlab pour la méthode Euler explicite | 11 |
| 5.2 | Script Matlab pour la méthode Flots Intégrables | 12 |

L'objectif de ce TD est de développer et comparer des méthodes d'intégration des systèmes hamiltoniens définis par rapport à une matrice de structure de Poisson non-symplectique puis pour un système irréversible dont la matrice de structure antisymétrique ne vérifie pas les identités de Jacobi.

Dans cette partie, nous allons réaliser différents méthodes d'intégration numériques sur le système LC.

1 Systèmes Hamiltoniens et calculs

1.1 Calculs préliminaires

On considère l'espace d'état $\mathcal{X} = \mathbf{R}^n$ avec $x \in \mathbf{R}^n$ et un intervalle de temps $[0, T]$ avec $t \in [0, T]$ et $T > 0$. On considère aussi l'équation différentielle ordinaire d'ordre n : $\frac{dx}{dt} = f(x)$

avec $f(x) = \begin{pmatrix} f_1(x) \\ \vdots \\ f_n(x) \end{pmatrix}$ un champ de vecteur où les fonctions $f_i(x)$ sont à valeurs réelles et C^∞ .

Ici, $f(x) = \frac{dx}{dt}$, or $\frac{dx}{dt} = J(x) \frac{\partial H_0}{\partial x}$ donc $f(x) = J(x) \frac{\partial H_0}{\partial x}$.

Avec $x = \begin{pmatrix} \phi_{L_1} \\ \phi_{L_2} \\ \phi_{L_3} \\ Q_C \end{pmatrix}$, $J(x) = \begin{pmatrix} 0 & 0 & 0 & B \\ 0 & 0 & 0 & A \\ 0 & 0 & 0 & 1 \\ -B & -A & -1 & 0 \end{pmatrix}$ et $H_0(x) = \frac{\phi_{L_1}^2}{2L_1} + \frac{\phi_{L_2}^2}{2L_2} + \frac{\phi_{L_3}^2}{2L_3} + \frac{Q_C^2}{2C}$

Ainsi on a :

$$\frac{\partial H_0}{\partial x} = \begin{pmatrix} \frac{\phi_{L_1}}{L_1} \\ \frac{\phi_{L_2}}{L_2} \\ \frac{\phi_{L_3}}{L_3} \\ \frac{Q_C}{C} \end{pmatrix}$$

Ainsi on peut écrire :

$$\begin{aligned} f(x) &= \begin{pmatrix} 0 & 0 & 0 & B \\ 0 & 0 & 0 & A \\ 0 & 0 & 0 & 1 \\ -B & -A & -1 & 0 \end{pmatrix} \begin{pmatrix} \frac{\phi_{L_1}}{L_1} \\ \frac{\phi_{L_2}}{L_2} \\ \frac{\phi_{L_3}}{L_3} \\ \frac{Q_C}{C} \end{pmatrix} \\ &= \begin{pmatrix} \frac{B \times Q_C}{C} \\ \frac{A \times Q_C}{C} \\ \frac{Q_C}{C} \\ -B \frac{\phi_{L_1}}{L_1} - A \frac{\phi_{L_2}}{L_2} - \frac{\phi_{L_3}}{L_3} \end{pmatrix} \end{aligned}$$

où A et B sont les coefficients des transformateurs.

2 Méthode d'Euler Explicite

2.1 Méthode Euler Explicite (Matlab)

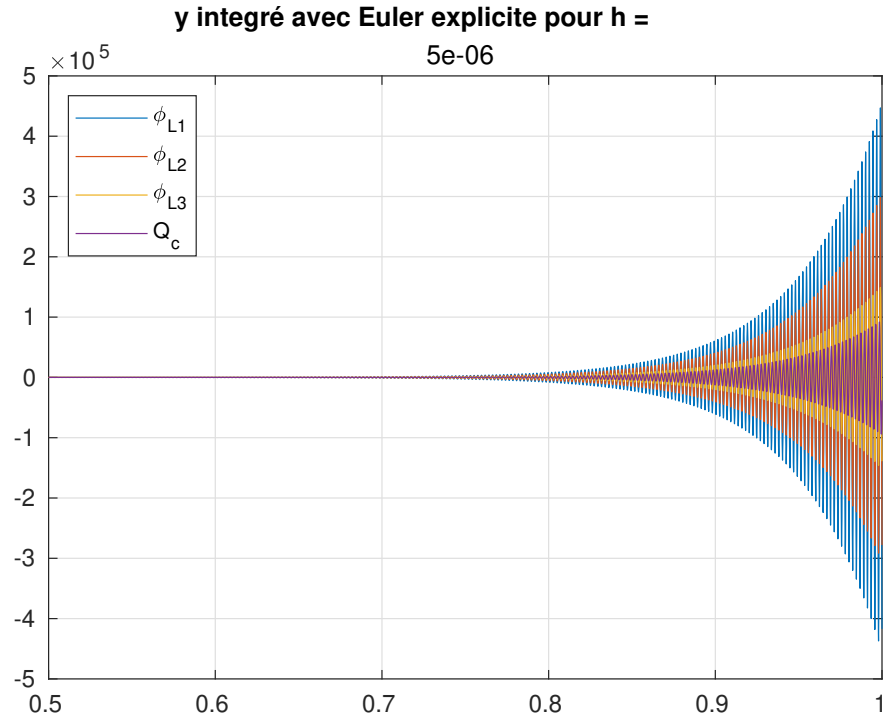
On obtient la fonction grâce au code (f.m) suivant avec la méthode Euler Explicite (EEx) :

```
1 function y = f(x)
2 % x est un vecteur de taille 4
3
4 y=zeros(4,1); % initialisation de y
5
6 C = 2.2e-4;
7 L1 = 1.8e-2;
8 L2 = 0.8e-2;
9 L3 = 1.3e-3;
10
11 A = 2;
12 B = 3;
13
14 %ici on définit f comme le produit de J avec dH0 :
15
16 y(1) = B*x(4)/C;
17 y(2) = A*x(4)/C;
18 y(3) = x(4)/C;
19 y(4) = -B*x(1)/L1 - A*x(2)/L2 - x(3)/L3;
20 end
```

et pour afficher les figures on code dans un fichier test.m :

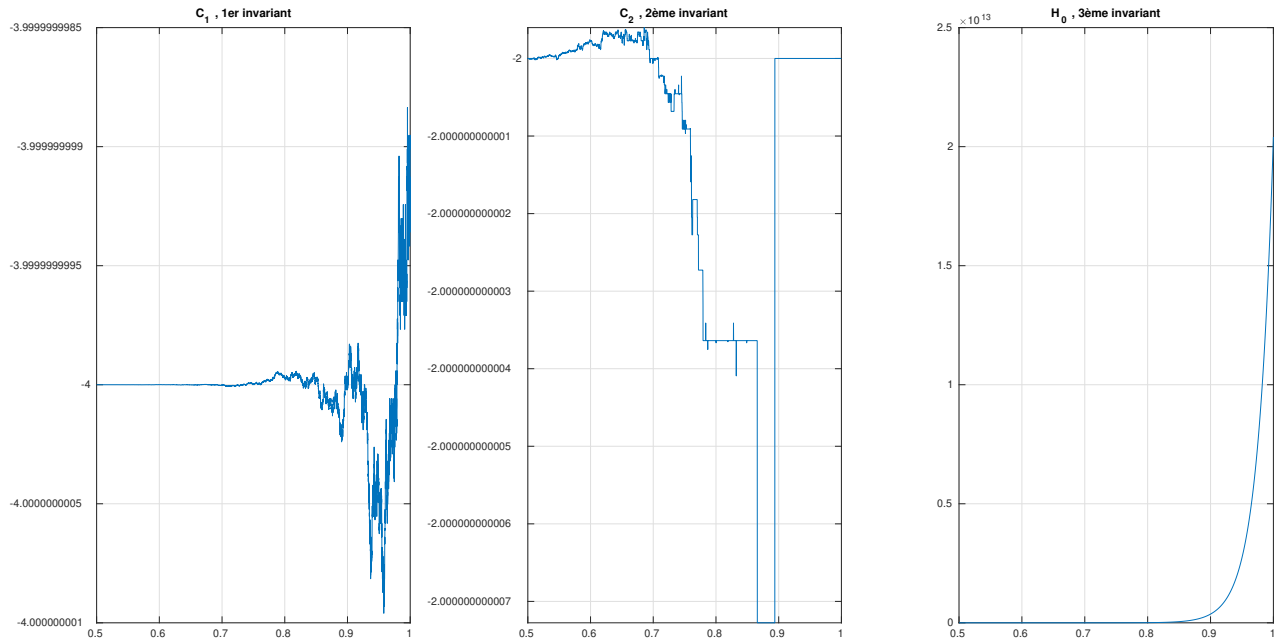
```
1 Yinit = [2,2,2,4]; % on prend x0 qui respecte Casimir
2 Xr = [0.5,1];
3
4 N = 1000;
5 %t = 1:N+1;
6 h = 5e-6;
7
8 [t,y] = EEx(Xr,Yinit,h);
9
10
11 %% On trace maintenant l'ensemble des variables selon le temps :
12 figure;
13
14 plot(t,y(1,:), t,y(2,:), t,y(3,:), t,y(4,:));
15 grid on;
16 legend(' \phi_{L1}', ' \phi_{L2}', ' \phi_{L3}', 'Q_c', 'Location', ' ',
17        'NorthWest');
17 title('y intégré avec Euler explicite pour h = ', h);
```

On obtient la figure suivante :



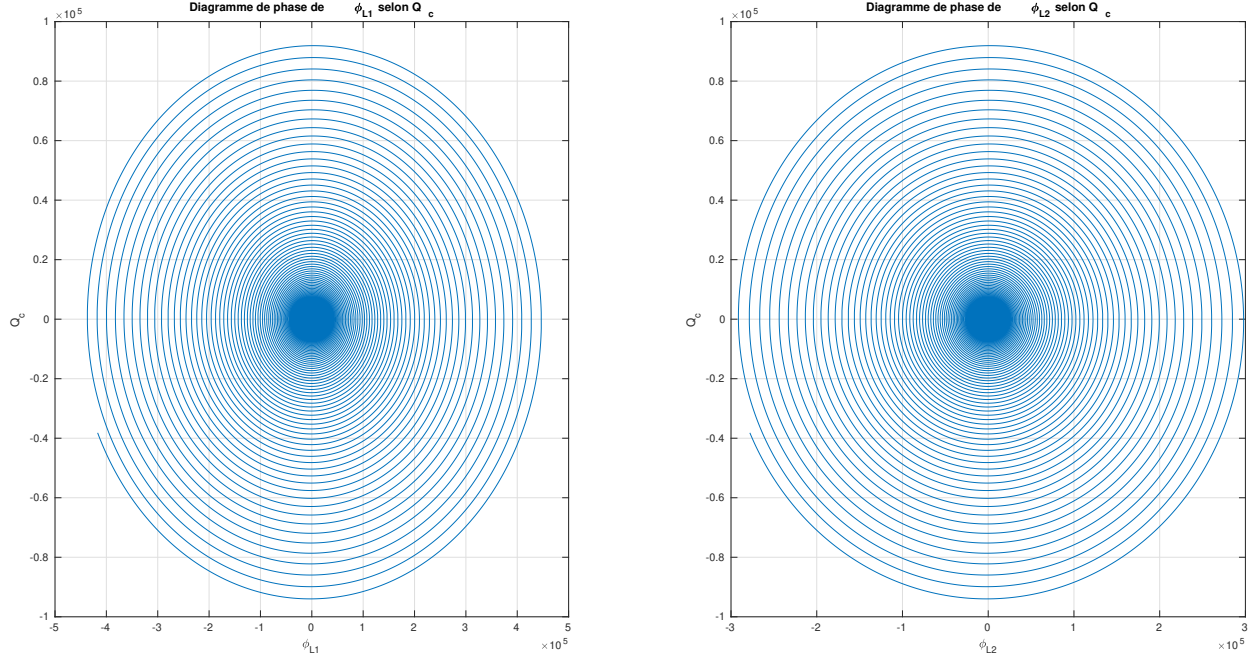
2.2 Les invariants dynamiques

On plot les invariants et on obtient :



2.3 Diagramme de phase

Et pour obtenir le diagramme des phases pour la méthodes Euler Explicite on a les figures suivantes :



3 Méthode des flots intégrables

3.1 Méthode flots intégrables (Matlab)

On rappelle qu'on a : $H_0(x) = \frac{\phi_{L1}^2}{2L_1} + \frac{\phi_{L2}^2}{2L_2} + \frac{\phi_{L3}^2}{2L_3} + \frac{Q_C^2}{2C}$ et les paramètres fixés :

$$\begin{cases} C = 2, 2 \times 10^{-4} [F] \\ L_1 = 1, 8 \times 10^{-2} [H] \\ L_2 = 0, 8 \times 10^{-2} [H] \\ L_3 = 1, 3 \times 10^{-3} [H] \end{cases}$$

On voit que H_0 est séparable et on peut donc écrire :

$$H_0^{[1]} = \frac{x_1^2}{2L_1} + \frac{x_2^2}{2L_1} + \frac{x_3^2}{2L_3}$$

$$H_0^{[2]} = \frac{x_4^2}{2C}$$

On code dans des fichiers séparés les fonctions dérivées suivantes :

```
1 function [y] = dH0_a(x)
2 L1=1.8*10^(-2);
3 y=x/L1;
4 end
5
6 function [y] = dH0_b(x)
7 L2=0.8*10^(-2);
8 y=x/L2;
9 end
10
11 function [y] = dH0_c(x)
12 L3=1.3*10^(-3);
13 y=x/L3;
14 end
15
16 function [y] = dH0_1(x)
17 y=dH0_a(x)+dH0_b(x)+dH0_c(x);
18 end
19
20 function [y] = dH0_2(x)
21 C=2.2*10^(-4);
22 y=x/C;
23 end
```

On rappelle qu'on a :

(1) l'application de $\varphi_{h/2}^{[2]}$

$$\phi\left(k + \frac{1}{2}\right) = \begin{pmatrix} B \\ A \\ 1 \end{pmatrix} \frac{\partial H_0^{[2]}}{\partial Q}(Q(k))h + \phi(k)$$

(2) l'application de $\varphi_h^{[1]}$

$$Q(k+1) = \begin{pmatrix} -B & -A & -1 \end{pmatrix} \frac{\partial H_0^{[2]}}{\partial \phi} \phi\left(k + \frac{1}{2}\right)h + Q(k)$$

(3) l'application de $\varphi_{h/2}^{[2]}$

$$\phi(k+1) = \begin{pmatrix} B \\ A \\ 1 \end{pmatrix} \frac{\partial H_0^{[2]}}{\partial Q}(Q(+1))h + \phi\left(k + \frac{1}{2}\right)$$

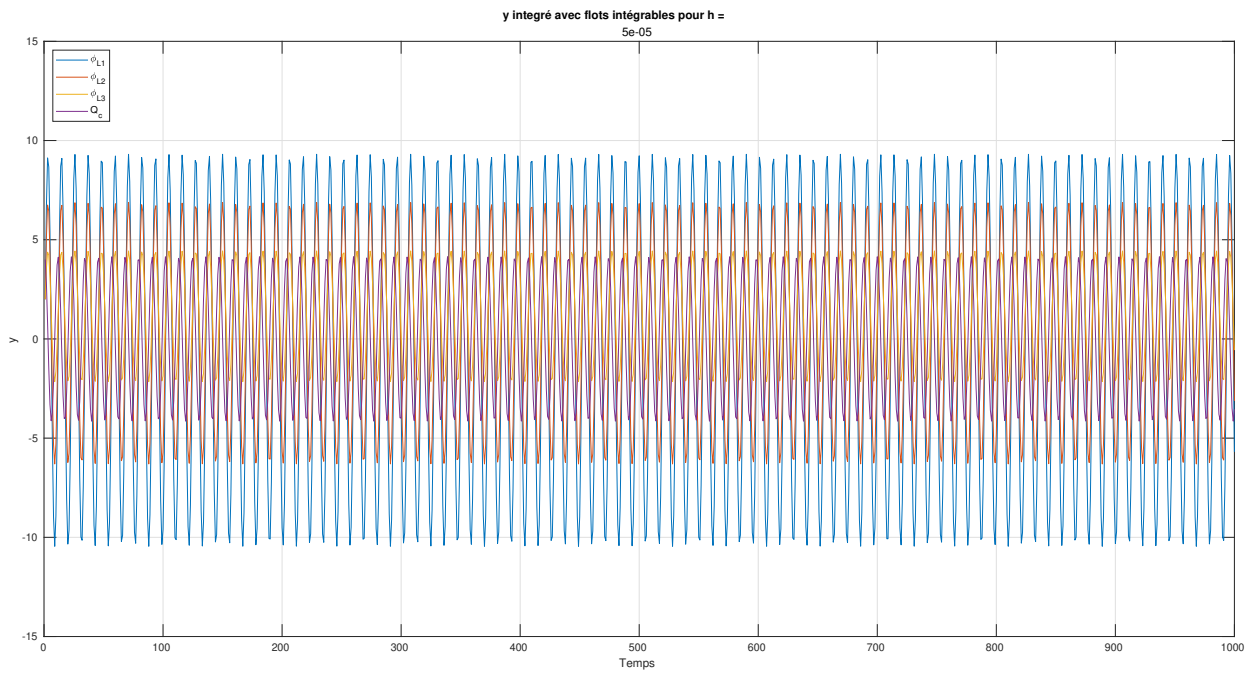
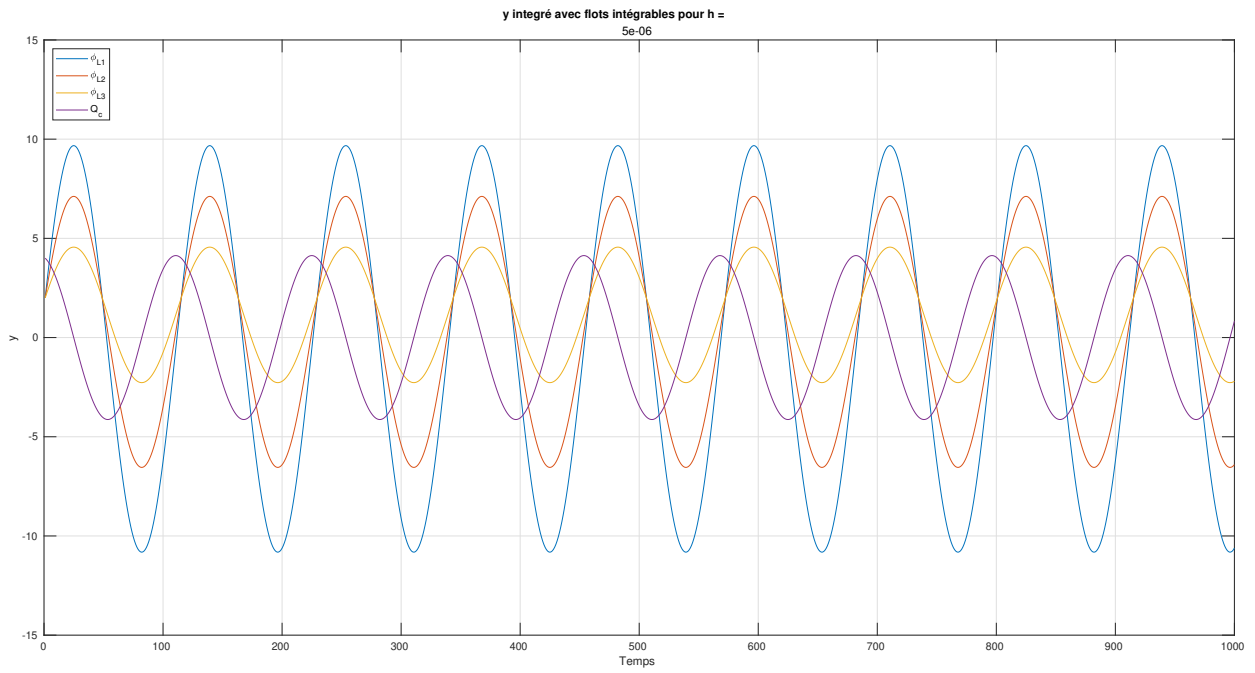
On obtient le code suivant :

```
1 function [x1,x2,x3,x4]= flots_inteLC(x0,h,N)
2
3 x1=zeros(1,N); x2=zeros(1,N); x3=zeros(1,N); x4=zeros(1,N);
4
5 x1(1)=x0(1); x2(1)=x0(2); x3(1)=x0(3); x4(1)=x0(4);
6 A=2; B=3;
7
8 for k= 2:N
9
10 %phi[2]_h/2
11     temp1x1 = B*dH0_2(x4(k-1))*h + x1(k-1);
12     temp1x2 = A*dH0_2(x4(k-1))*h + x2(k-1);
13     temp1x3 = dH0_2(x4(k-1))*h + x3(k-1);
14
15 %phi^1_h
16 x4(k) = -B*dH0_1(temp1x1)*h-A*dH0_1(temp1x2)*h-dH0_1(temp1x3)*h+x4(k-1);
17
18 %phi^2_h/2
19     x1(k) = B*dH0_2(x4(k))*h + temp1x1;
20     x2(k) = A*dH0_2(x4(k))*h + temp1x2;
21     x3(k) = dH0_2(x4(k))*h + temp1x3;
22
23 end
24 end
```

On obtient les figures suivantes avec le code test.m suivant :

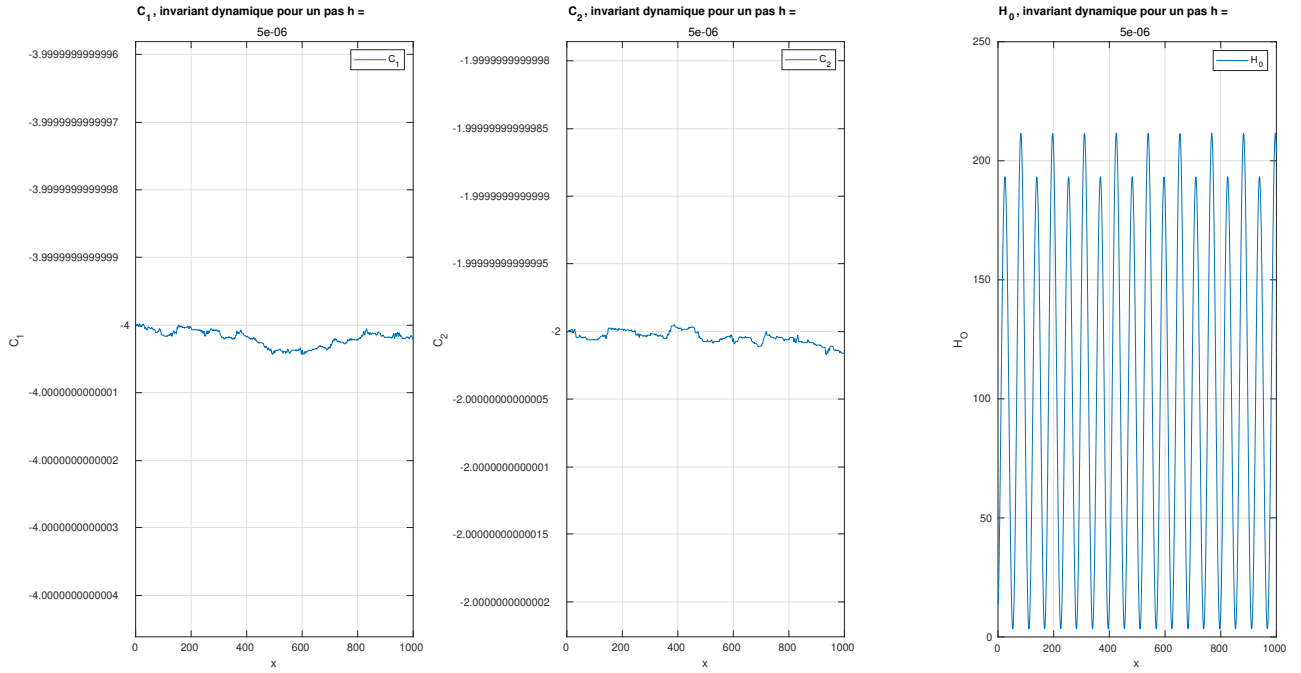
```
1 Yinit = [2,2,2,4]; % on prend x0 qui respecte Casimir
2 Xr = [0,1];
3
4 N = 1000;
5 t = 1:N;
6 h = 1e-6;
7
8 % On intègre y avec flots_inteLC et on plot
9
10 [x1,x2,x3,x4] = flots_inteLC(Yinit, h, N);
11 plot(t, x1, t, x2, t, x3, t, x4);
12 ylim([-15,15]);
13 grid on;
14 legend('\phi_{L1}', '\phi_{L2}', '\phi_{L3}', 'Q_c', 'Location', 'NorthWest');
15 title('y intégré avec flots intégrables pour h = ', h');
16 xlabel('Temps');
17 ylabel('y');
```


On obtient les figures suivantes :



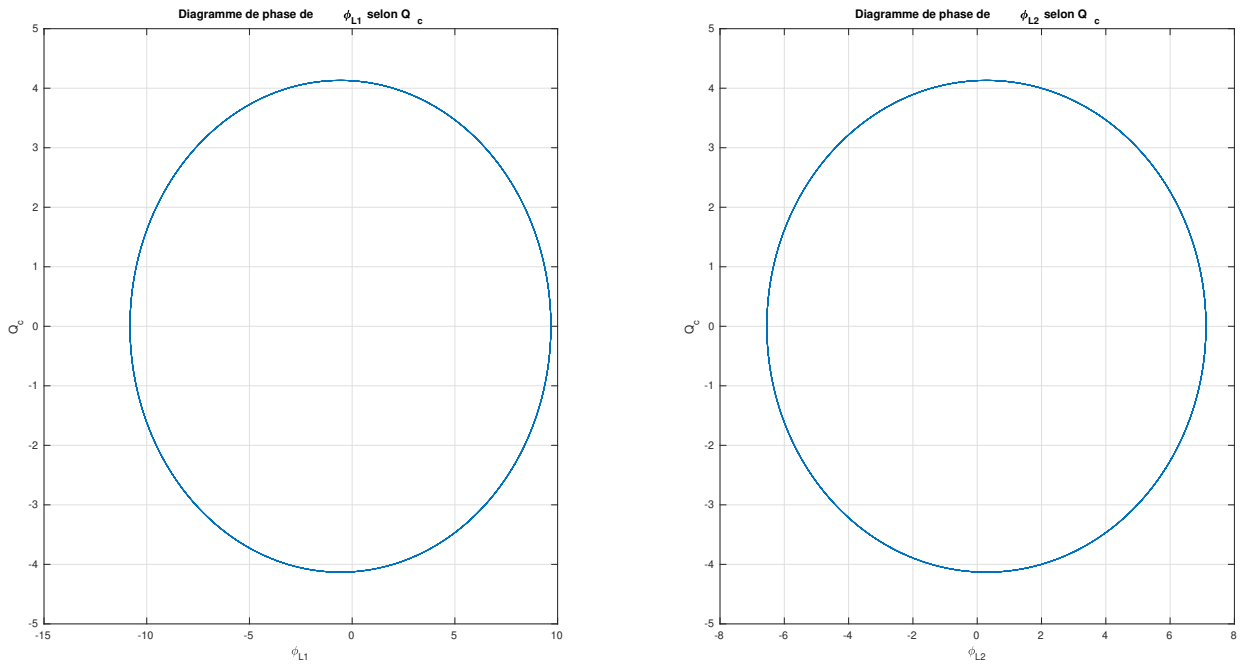
3.2 Les invariants dynamiques

Pour les invariants dynamiques on obtient les figures suivantes :



3.3 Diagramme de phase

Et pour obtenir le diagramme des phases pour la méthodes des flots intégrables on a les figures suivantes :



4 Comparaison des méthodes

4.1 Comparaison des invariants de Casimir

On remarque que la fonction de Casimir prend les mêmes valeurs pour Euler Explicite et pour Flots Intégrables. Cependant dans les deux cas les valeurs sont vraiment très faibles ($C_1 = -4$ et $C_2 = -2$). Cependant pour la méthode d'Euler Explicite on constate l'apparition d'erreur au fur et à mesure du temps. On peut considérer que cet invariant est stable pour les deux méthodes mais plus stable pour la méthode des flots intégrables que celle d'Euler explicite.

4.2 Comparaison diagramme de phase

La méthode des flots intégrables est meilleure que Euler pour le déphasage. Elle est comme la méthode Euler Symplectique vu au précédent TP.

4.3 Comparaison invariant H_0

On constate bien que la méthode des flots intégrables est meilleure pour la conservation de H_0 que la méthode d'Euler. Pour la méthode d'Euler Explicite on a que H_0 diverge alors que pour la méthode des flots intégrables on a que H_0 reste bornée, comme pour la méthode Euler Symplectique.

5 Annexe (Code Matlab)

5.1 Script Matlab pour la méthode Euler explicite

```
1 %% Paramètres initiaux
2 Yinit = [2,2,2,4]; % on prend x0 qui respecte Casimir
3 Xr = [0.5,1];
4 N = 1000; h = 5e-6;
5 C = 2.2e-4; L1 = 1.8e-2; L2 = 0.8e-2; L3 = 1.3e-3;
6 A = 2; B = 3;
7 [t,y] = EEx(Xr,Yinit,h);
8
9 %% On trace maintenant l'ensemble des variables selon le temps :
10 figure;
11
12 plot(t,y(1,:), t,y(2,:), t,y(3,:), t,y(4,:));
13 grid on;
14 legend(' \phi_{L1}', ' \phi_{L2}', ' \phi_{L3}', 'Q_c', 'Location', 'NorthWest');
15 title('y intégré avec Euler explicite pour h = ', h);
16
17 %% On va maintenant regarder les invariants :
18 figure;
19
20 subplot(1,3,1);
21 plot(t, y(1,:) - 3*y(3,:));
22 grid on;
```

```

23 title('C_1 , 1er invariant');
24
25 subplot(1,3,2);
26 plot(t, y(2,:)- 2*y(3,:));
27 grid on;
28 title('C_2 , 2ème invariant');
29
30 subplot(1,3,3);
31 plot(t, (y(1,:).*y(1,:))/(2*L1) + (y(2,:).*y(2,:))/(2*L2) + (y(3,:).*y
    (3,:))/(2*L3) + (y(4,:).*y(4,:))/(2*C));
32 grid on;
33 title('H_0 , 3ème invariant');
34
35 %% Diagramme de phase
36
37 figure;
38
39 subplot(1,2,1);
40 plot(y(1,:), y(4,:));
41 grid on;
42 title('Diagramme de phase de \phi_{L1} selon Q_c');
43 xlabel('\phi_{L1}'); ylabel('Q_c');
44
45 subplot(1,2,2);
46 plot(y(2,:), y(4,:));
47 grid on;
48 title('Diagramme de phase de \phi_{L2} selon Q_c');
49 xlabel('\phi_{L2}'); ylabel('Q_c');

```

5.2 Script Matlab pour la méthode Flots Intégrables

```

1 %% Paramètres initiaux
2 Yinit = [2,2,2,4]; % on prend x0 qui respecte Casimir
3 Xr = [0,1];
4 N = 1000; t = 1:N; h = 5e-6;
5
6 %% On intègre y avec flots_inteLC et on plot
7
8 [x1,x2,x3,x4] = flots_inteLC(Yinit, h, N);
9
10 figure;
11 plot(t, x1, t, x2, t, x3, t, x4);
12 ylim([-15,15]);
13 grid on;
14 legend('\phi_{L1}', '\phi_{L2}', '\phi_{L3}', 'Q_c', 'Location', '
    NorthWest');
15 title('y intégré avec flots intégrables pour h = ', h');
16 xlabel('Temps'); ylabel('y');
17
18 %% Diagramme de phase
19
20 figure;
21 [x1,x2,x3,x4] = flots_inteLC(Yinit,h,N);

```

```

22
23 subplot(1,2,1);
24 plot(x1,x4);
25 grid on;
26 title('Diagramme de phase de \phi_{L1} selon Q_c');
27 xlabel('\phi_{L1}'); ylabel('Q_c');
28
29 subplot(1,2,2);
30 plot(x2,x4);
31 grid on;
32 title('Diagramme de phase de \phi_{L2} selon Q_c');
33 xlabel('\phi_{L2}'); ylabel('Q_c');
34
35 %% Invariants dynamiques
36
37 H0 = zeros(1,N) ; C1 = zeros(1,N) ; C2 = zeros(1,N) ;
38 Y=[x1; x2; x3; x4];
39 C=2.210^(-4) ; L3=1.310^(-3) ; L2=0.810^(-2) ; L1=1.810^(-2) ;
40
41 for i =1:N
42     H0(i) = (Y(4,i)^2)*(2*C) + (Y(1,i)^2)/(2*L1) + (Y(2,i)^2)/(2*L2) + (
43         Y(3,i)^2)/(2*L3);
44
45 for i = 1:N
46     C1(i) = Y(1,i) - B*Y(3,i); % Calcul de casimir avec son expression
47 end
48
49 for i =1:N
50     C2(i) = Y(2,i) - A*Y(3,i) ; % Calcul de Casimir avec son expression
51 end
52
53 figure;
54
55 subplot(1,3,1);
56 plot(C1)
57 grid on;
58 title('C_1, invariant dynamique pour un pas h = ', h);
59 legend('C_1');
60 xlabel('x'); ylabel('C_1');
61
62 subplot(1,3,2);
63 plot(C2)
64 grid on;
65 title('C_2, invariant dynamique pour un pas h = ', h);
66 legend('C_2');
67 xlabel('x'); ylabel('C_2');
68
69 subplot(1,3,3);
70 plot(H0);
71 grid on;
72 title('H_0, invariant dynamique pour un pas h = ', h);
73 legend('H_0');
74 xlabel('x'); ylabel('H_O');

```